

ANEXO A: RESULTADOS DE TODOS LOS ENSAYOS REALIZADOS

Gráficas y tablas.

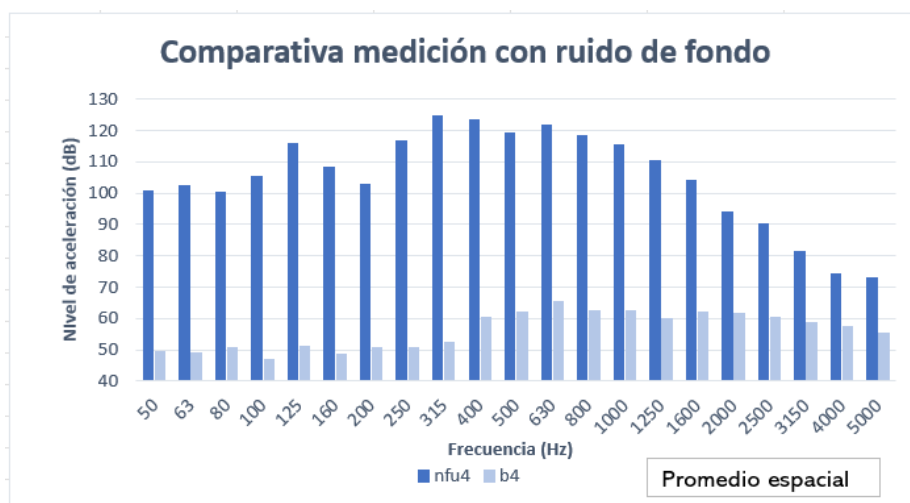


Fig. A-1 Comparativa del ruido de fondo para la muestra formada por: hormigón estándar, panel de CLT y NFU de espesor 4mm. Primera medida.

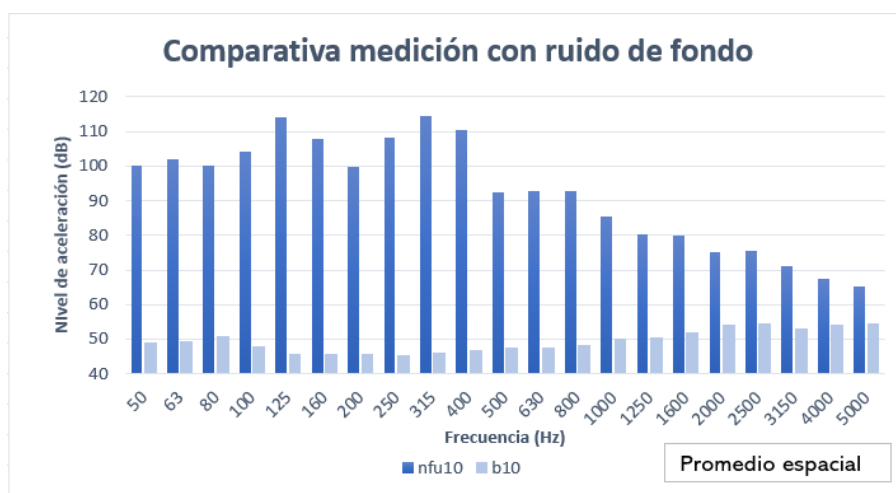


Fig. A-2 Comparativa del ruido de fondo para la muestra formada por: hormigón estándar, panel de CLT y NFU de espesor 10mm. Primera medida.

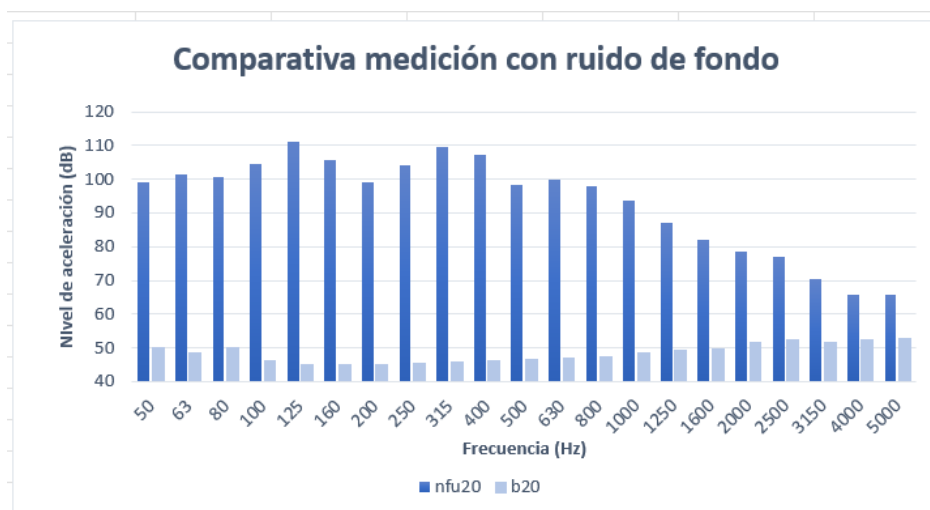


Fig. A-3 Comparativa del ruido de fondo para la muestra formada por: hormigón estándar, panel de CLT y NFU de espesor 20mm. Primera medida.

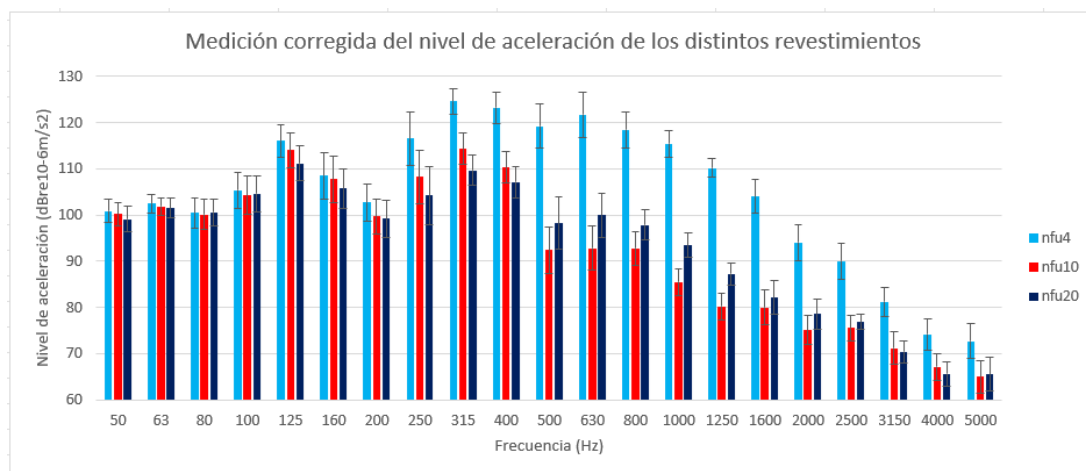


Fig. A-4 Comparativa del nivel de aceleración alcanzado usando los distintos revestimientos de NFU en el forjado de hormigón estándar con CLT, a cada frecuencia. Primera medida.

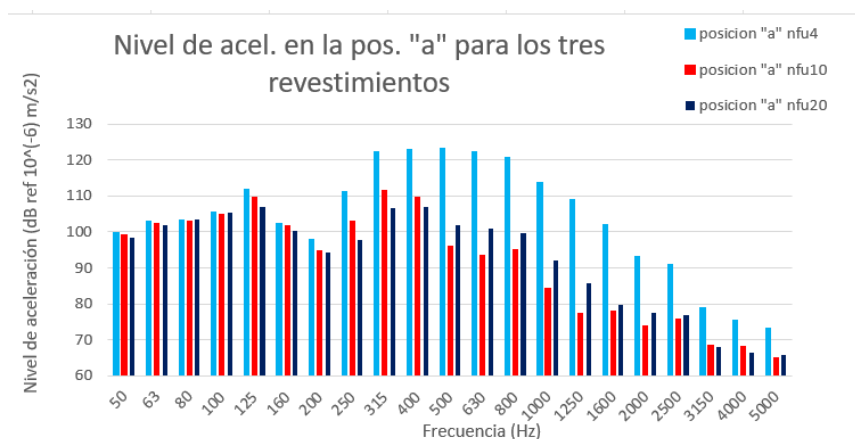


Fig. A-5 Comparativa de la respuesta obtenida en el acelerómetro de la posición "a" para los tres revestimientos en maqueta estándar: nfu4, nfu10, y nfu20. Primera medida.

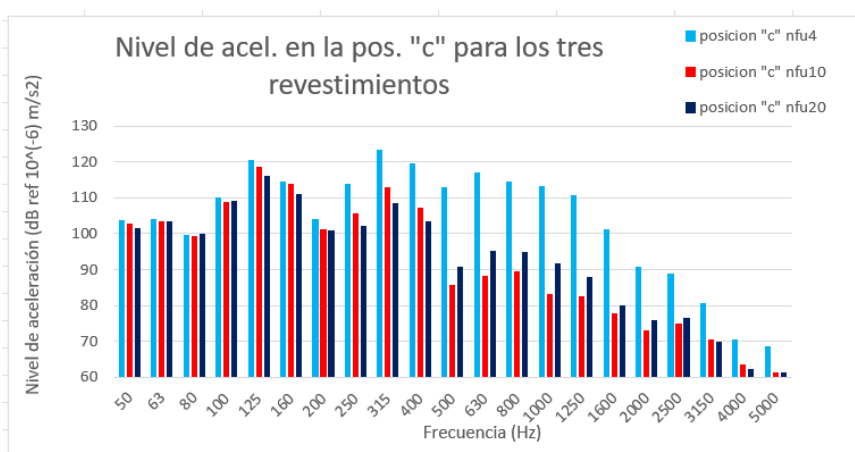


Fig. A-6 Comparativa de la respuesta obtenida en el acelerómetro de la posición "c" para los tres revestimientos en maqueta estándar: nfu4, nfu10, y nfu20. Primera medida.

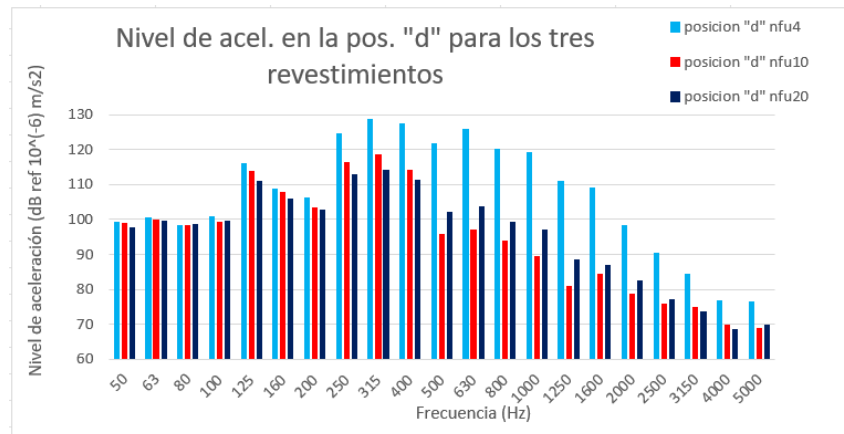


Fig. A-7 Comparativa de la respuesta obtenida en el acelerómetro de la posición "d" para los tres revestimientos en maqueta estándar: nfu4, nfu10, y nfu20. Primera medida.

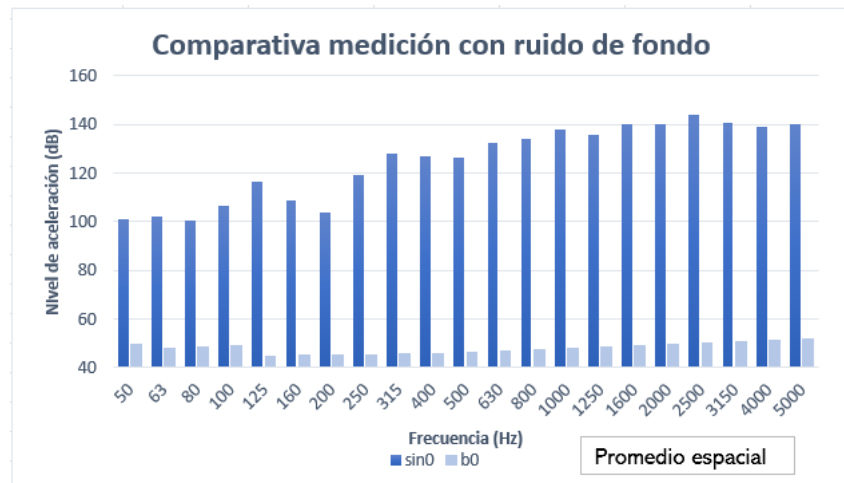


Fig. A-8 Comparativa del ruido de fondo para la muestra formada por: hormigón estándar y panel de CLT, sin revestimiento. Primera y única medida.

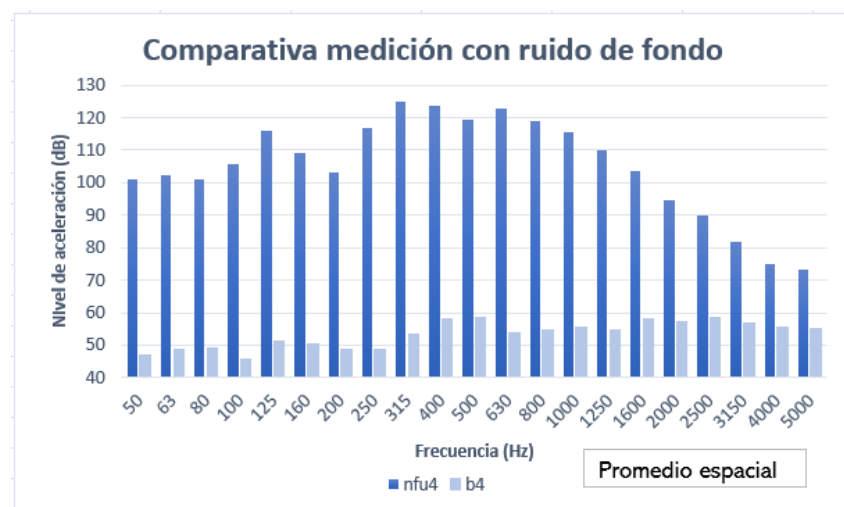


Fig. A-9 Comparativa del ruido de fondo para la muestra formada por: hormigón estándar, panel de CLT y NFU de espesor 4mm. Segunda medida.

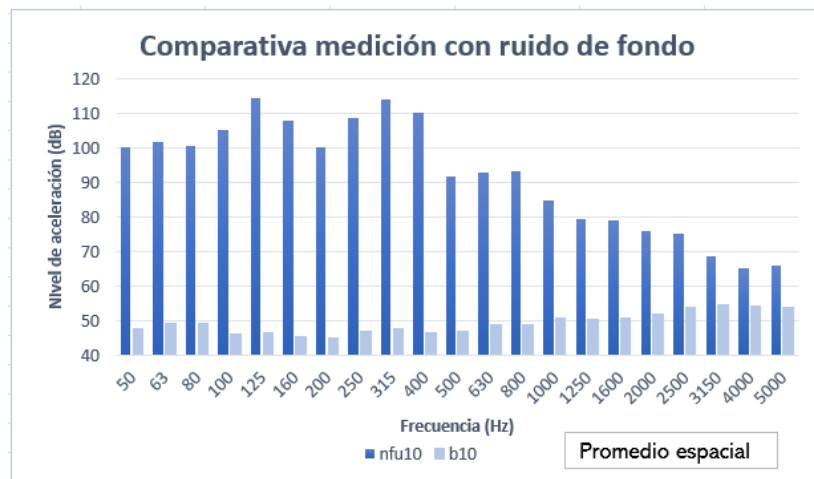


Fig. A-10 Comparativa del ruido de fondo para la muestra formada por: hormigón estándar, panel de CLT y NFU de espesor 10mm. Segunda medida.

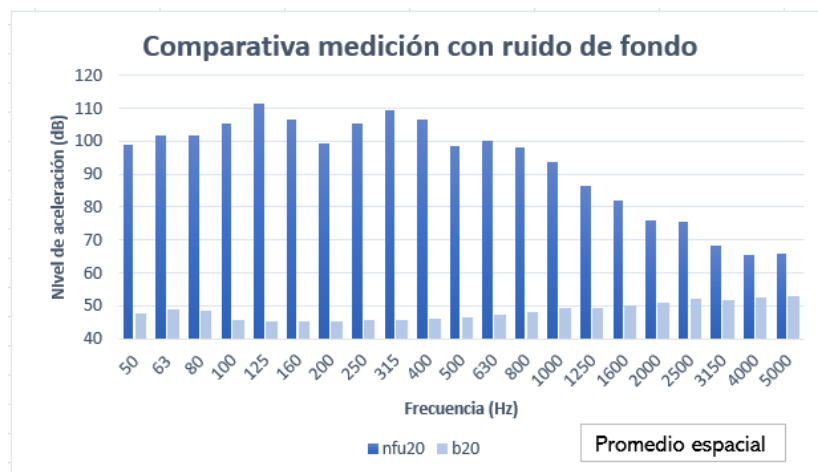


Fig. A-11 Comparativa del ruido de fondo para la muestra formada por: hormigón estándar, panel de CLT y NFU de espesor 20mm. Segunda medida.

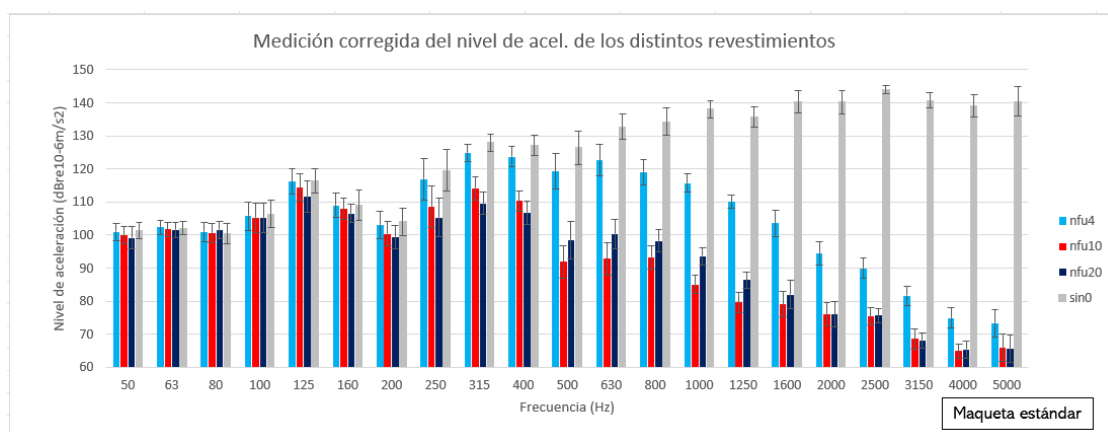


Fig. A-12 Comparativa del nivel de aceleración alcanzado usando los distintos revestimientos de NFU en el forjado de hormigón estándar con CLT, a cada frecuencia; además del forjado "desnudo". Segunda medida.

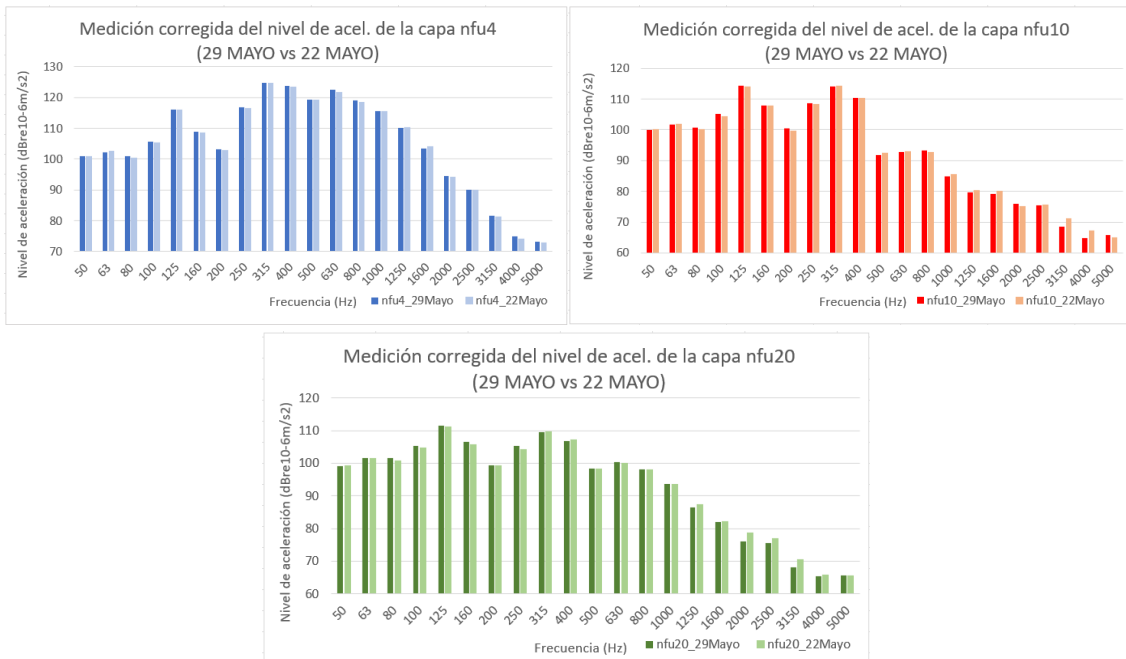


Fig. A-13 Comparativa entre las mediciones hechas en momentos distintos, enfrentando cada revestimiento por separado, para comprobar la repetibilidad. Hormigón estándar.

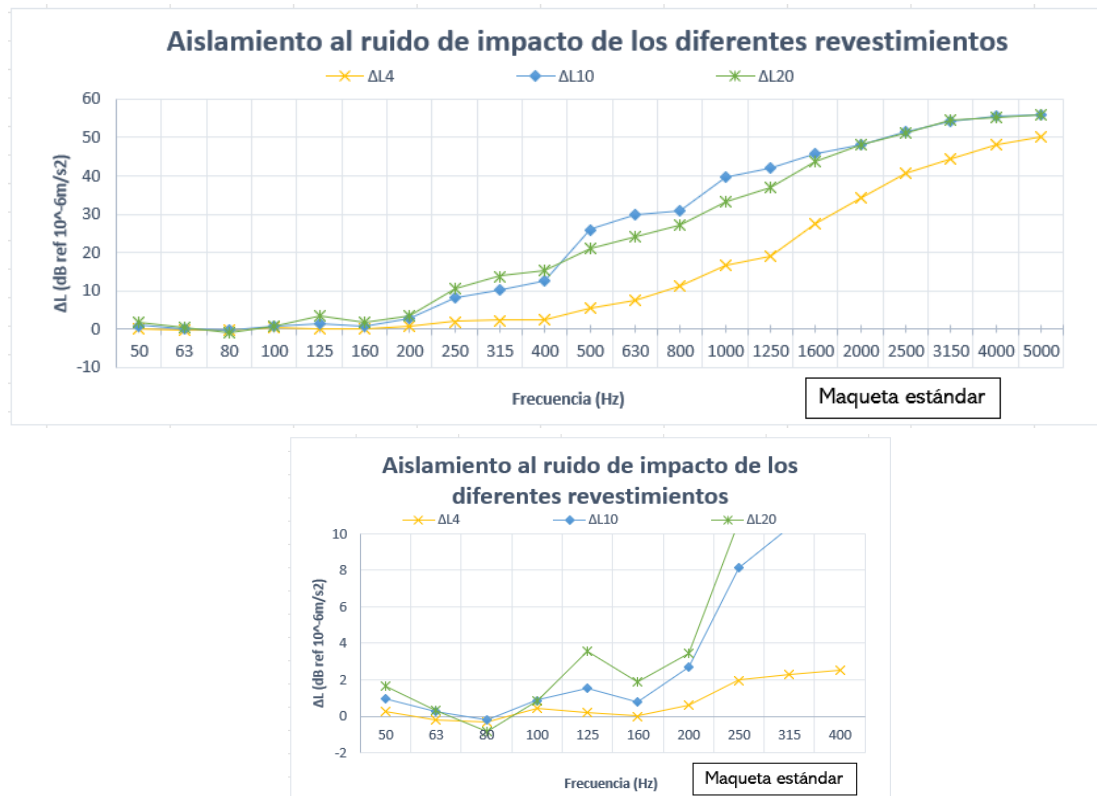


Fig. A-14 Aislamiento al ruido de impacto conseguido con las distintas muestras (con respecto al hormigón estándar sin ningún revestimiento), para el rango de 50-5000Hz, en tercios de octava.

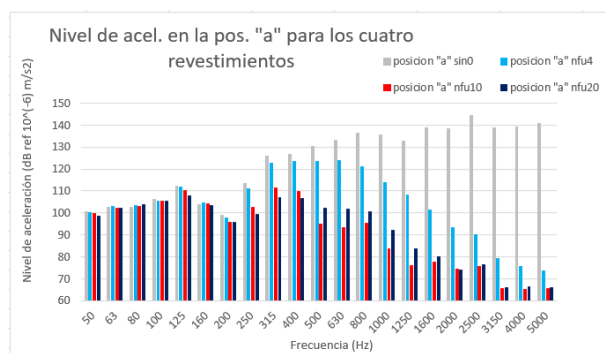


Fig. A-15 Comparativa de la respuesta obtenida en el acelerómetro de la posición “a” para los tres revestimientos, y ninguno, en maqueta estándar: sin0, nfu4, nfu10, y nfu20. Segunda medida.

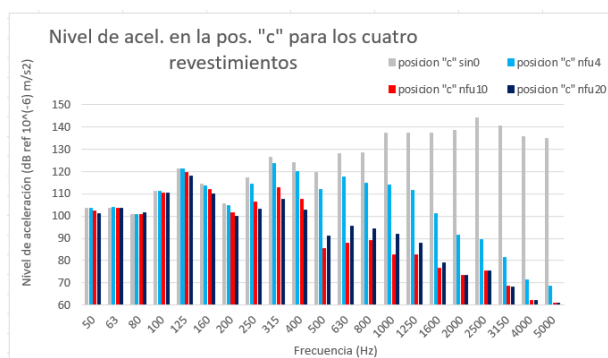


Fig. A-16 Comparativa de la respuesta obtenida en el acelerómetro de la posición “c” para los tres revestimientos, y ninguno, en maqueta estándar: sin0, nfu4, nfu10, y nfu20. Segunda medida.

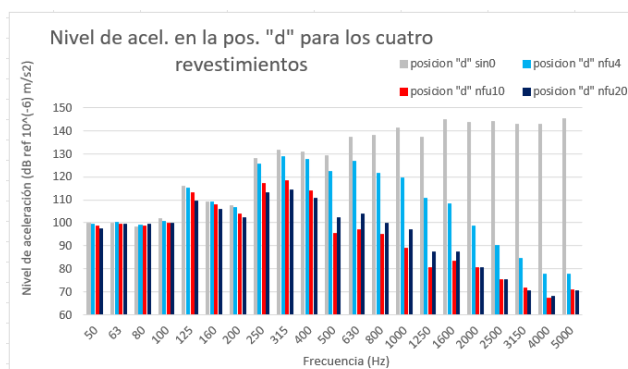


Fig. A-17 Comparativa de la respuesta obtenida en el acelerómetro de la posición “d” para los tres revestimientos, y ninguno, en maqueta estándar: sin0, nfu4, nfu10, y nfu20. Segunda medida.

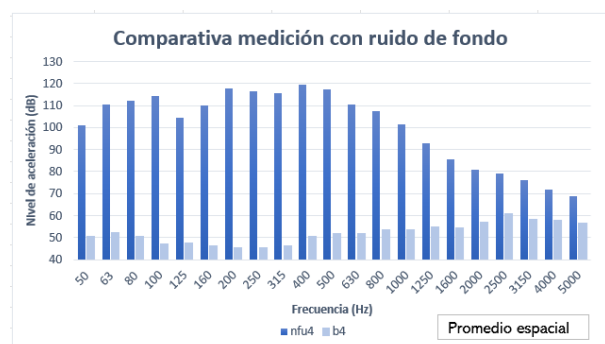


Fig. A-18 Comparativa del ruido de fondo para la muestra formada por: hormigón con NFU, panel de CLT y NFU de espesor 4mm. Primera medida

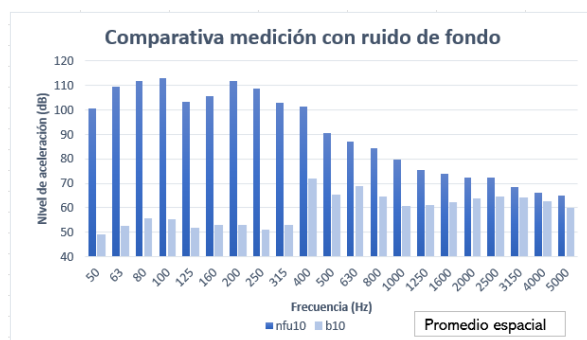


Fig. A-19 Comparativa del ruido de fondo para la muestra formada por: hormigón con NFU, panel de CLT y NFU de espesor 10mm. Primera medida

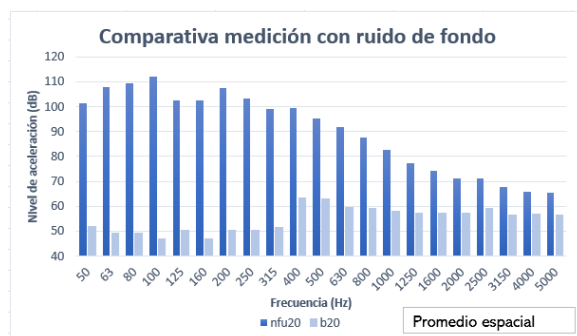


Fig. A-20 Comparativa del ruido de fondo para la muestra formada por: hormigón con NFU, panel de CLT y NFU de espesor 20mm. Primera medida

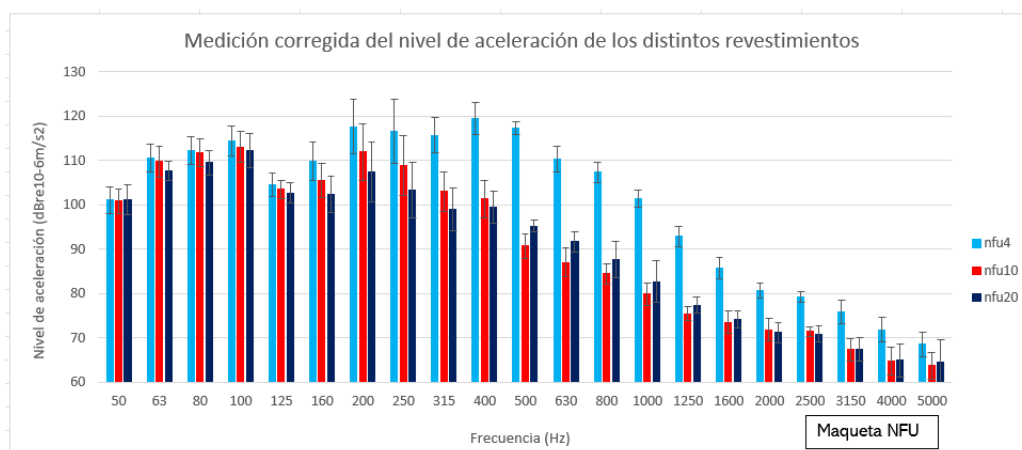


Fig. A-21 Comparativa del nivel de aceleración alcanzado usando los distintos revestimientos de NFU en el forjado de hormigón con NFU, y con CLT, a cada frecuencia. Primera medida.

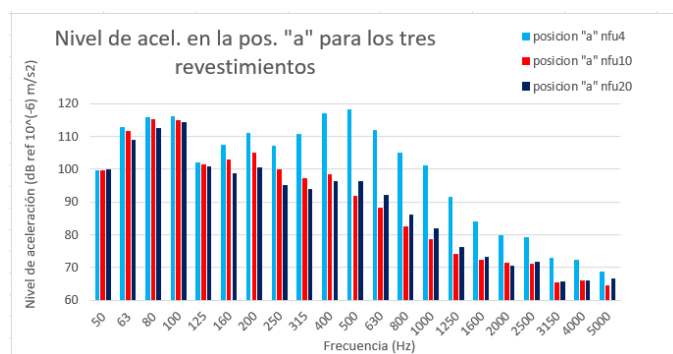


Fig. A-22 Comparativa de la respuesta obtenida en el acelerómetro de la posición "a" para los tres revestimientos en maqueta NFU: nfu4, nfu10, y nfu20. Primera medida.

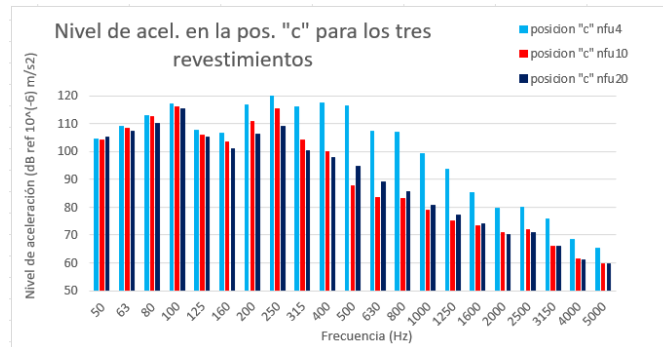


Fig. A-23 Comparativa de la respuesta obtenida en el acelerómetro de la posición "c" para los tres revestimientos en maqueta NFU: nfu4, nfu10, y nfu20. Primera medida.

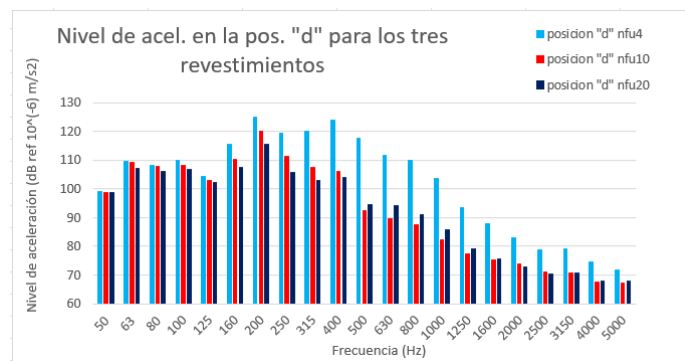


Fig. A-24 Comparativa de la respuesta obtenida en el acelerómetro de la posición "d" para los tres revestimientos en maqueta NFU: nfu4, nfu10, y nfu20. Primera medida.

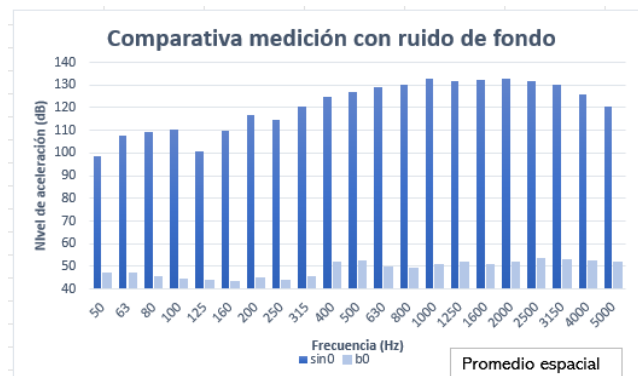


Fig. A-25 Comparativa del ruido de fondo para la muestra formada por: hormigón con NFU y panel de CLT, sin revestimiento. Primera y única medida

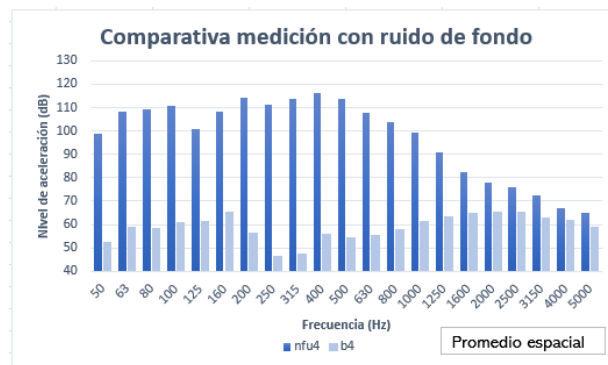


Fig. A-26 Comparativa del ruido de fondo para la muestra formada por: hormigón con NFU, panel de CLT y NFU de espesor 4mm. Segunda medida

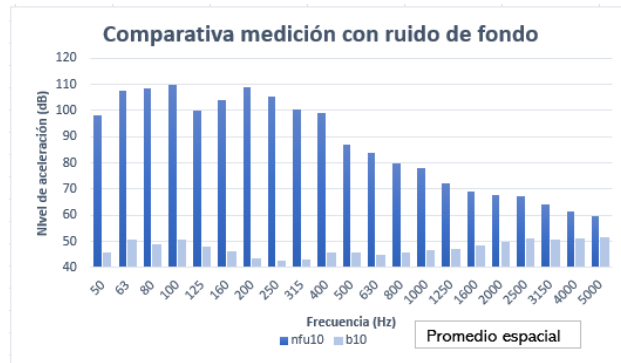


Fig. A-27 Comparativa del ruido de fondo para la muestra formada por: hormigón con NFU, panel de CLT y NFU de espesor 10mm. Segunda medida

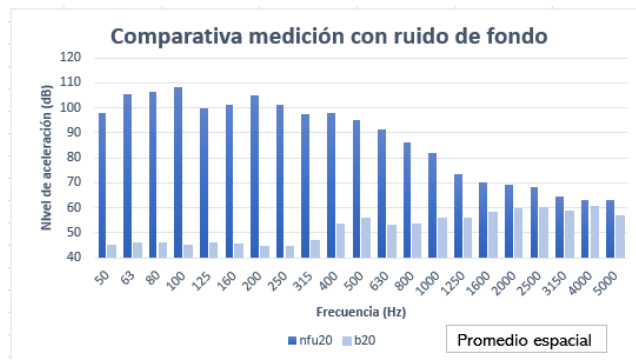


Fig. A-28 Comparativa del ruido de fondo para la muestra formada por: hormigón con NFU, panel de CLT y NFU de espesor 20mm. Segunda medida

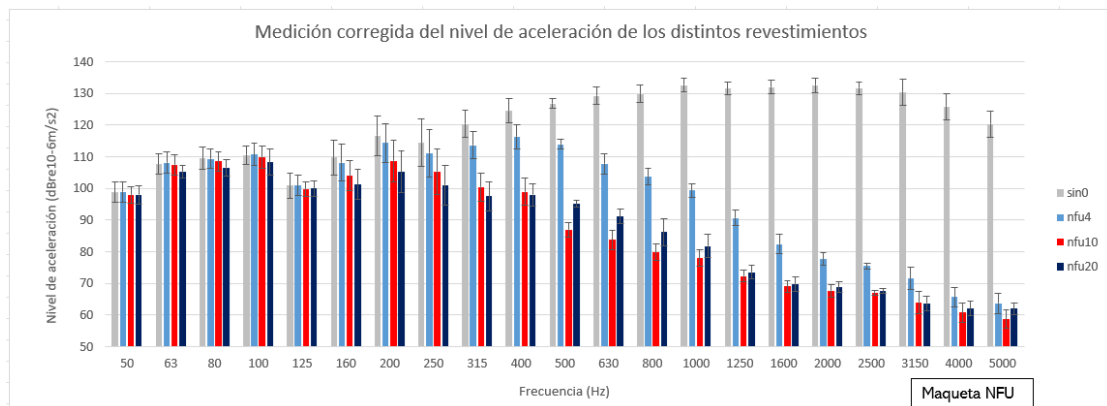


Fig. A-29 Comparativa del nivel de aceleración alcanzado usando los distintos revestimientos de NFU en el forjado de hormigón con NFU, y con CLT, a cada frecuencia. Segunda medida.

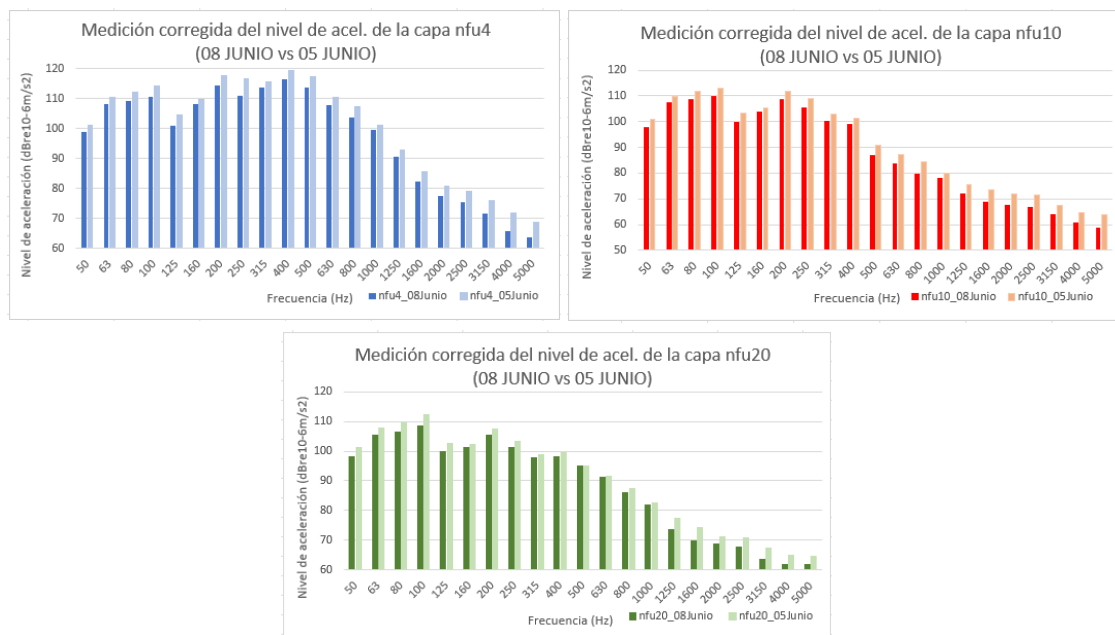


Fig. A-30 Comparativa entre las mediciones hechas en momentos distintos, enfrentando cada revestimiento por separado, para comprobar la repetibilidad. Hormigón con NFU.

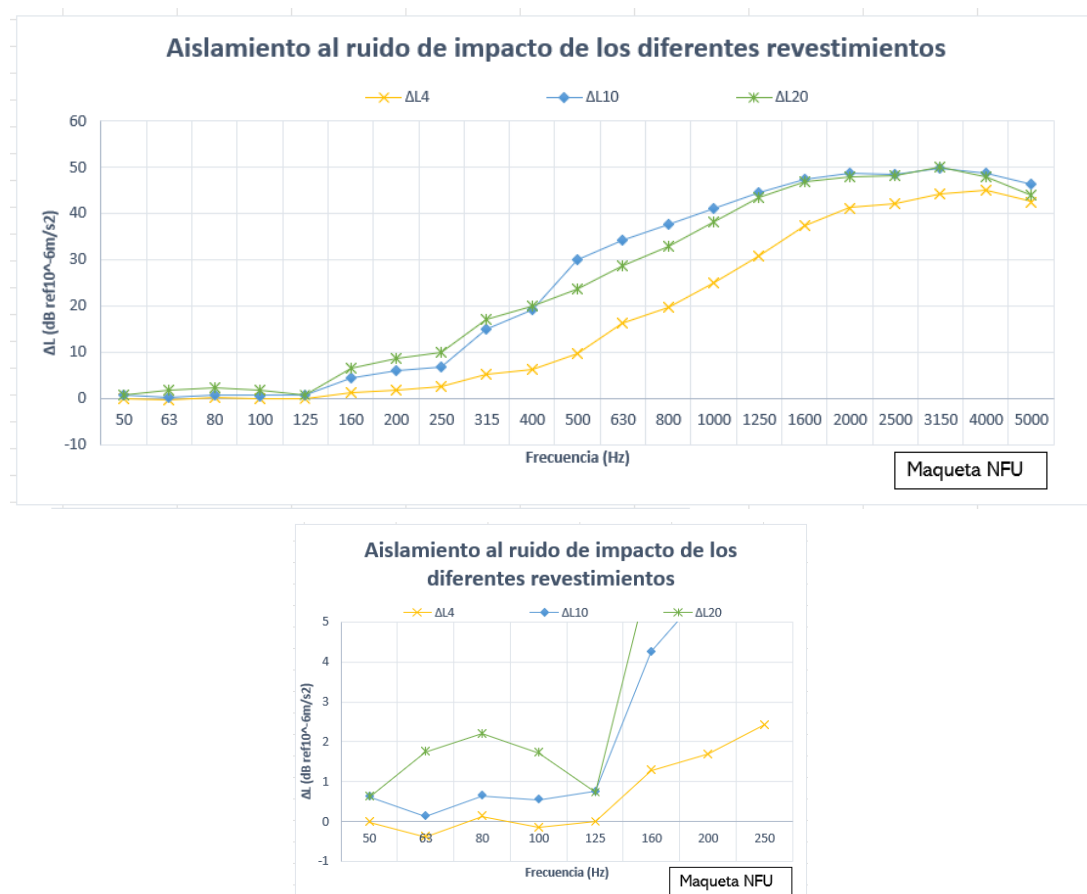


Fig. A-31 Aislamiento al ruido de impacto conseguido con las distintas muestras (con respecto al hormigón con NFU sin ningún revestimiento), para el rango de 50-5000Hz, en tercios de octava.

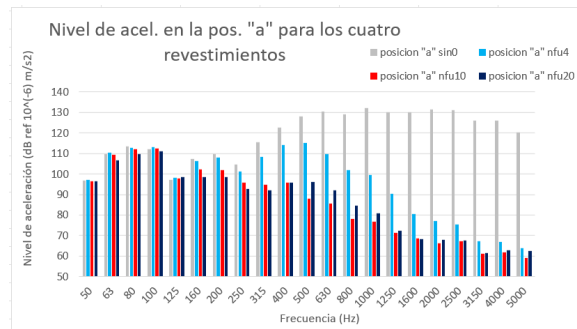


Fig. A-32 Comparativa de la respuesta obtenida en el acelerómetro de la posición "a" para los tres revestimientos, y ninguno, en maqueta NFU: sin0, nfu4, nfu10, y nfu20. Segunda medida.

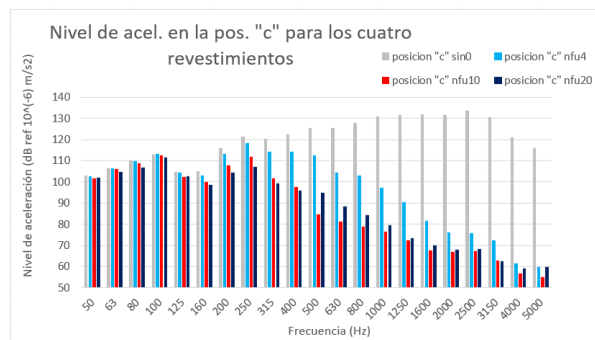


Fig. A-33 Comparativa de la respuesta obtenida en el acelerómetro de la posición "c" para los tres revestimientos, y ninguno, en maqueta NFU: sin0, nfu4, nfu10, y nfu20. Segunda medida.

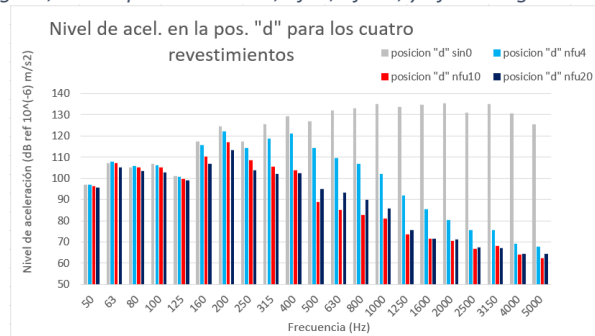


Fig. A-34 Comparativa de la respuesta obtenida en el acelerómetro de la posición "d" para los tres revestimientos, y ninguno, en maqueta NFU: sin0, nfu4, nfu10, y nfu20. Segunda medida.

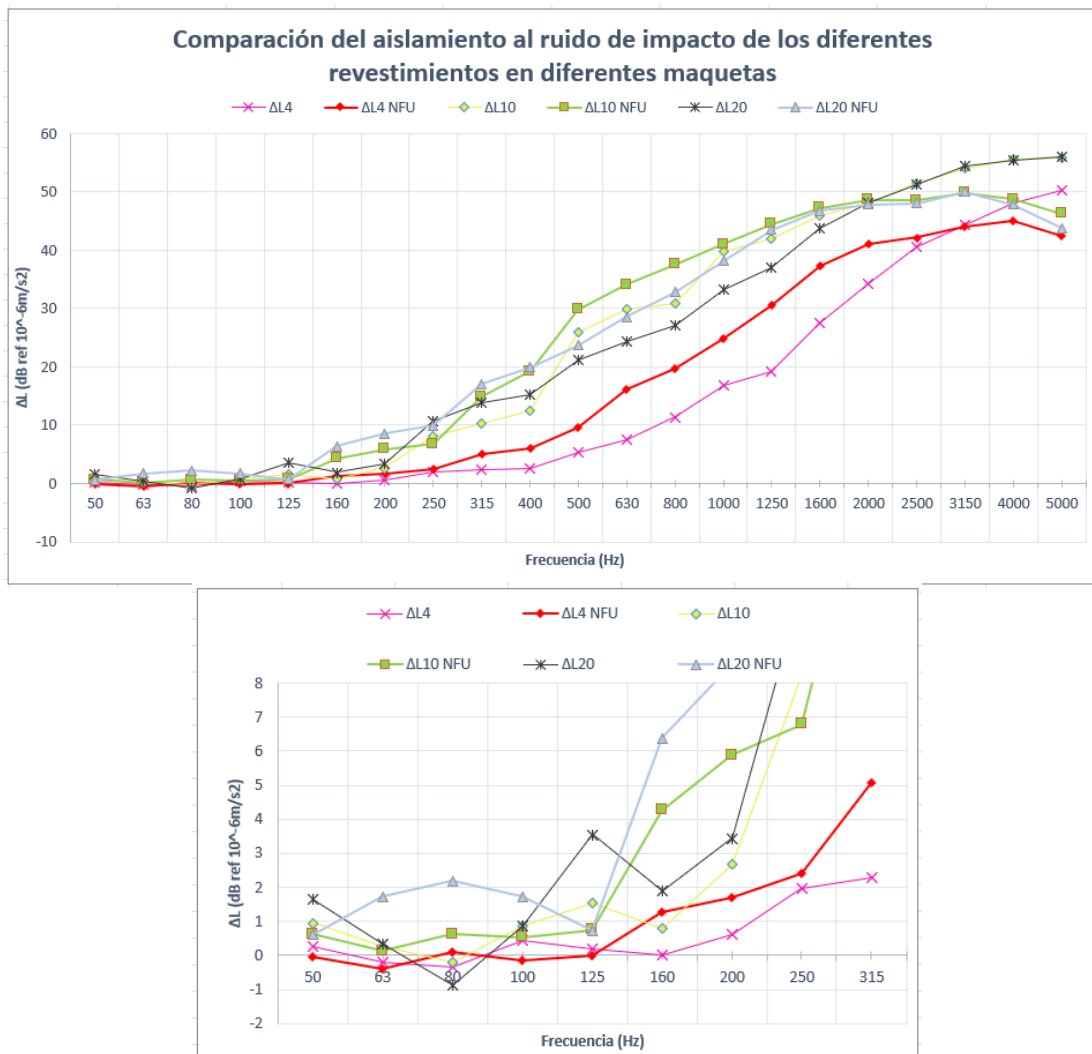


Fig. 35 Comparativa de todas las mejoras al aislamiento del ruido de impacto conseguido, de todos los revestimientos, y en las dos posibles maquetas.